

que é a mesma que resolvemos no problema do poço quadrado infinito, mas com uma diferença importante: não há restrições ao valor de x ($x \in (-\infty, +\infty)$).

Consideremos primeiro a possibilidade de encontrarmos soluções válidas com $E < 0$:

$$\Rightarrow k^2 = -\frac{2mE}{t^2}, \quad k = \frac{\sqrt{-2mE}}{t},$$

$$\psi''(x) = k^2 \psi(x)$$

$$\Rightarrow \psi(x) = A e^{kx} + B e^{-kx}, \text{ como no caso anterior.}$$

Mas se $x \rightarrow \infty$, e^{kx} cresce sem limite, o que não tem sentido físico $\rightarrow A=0$. De forma similar, se $x \rightarrow -\infty$, e^{-kx} também "explode" $\rightarrow B=0$, e ficamos com uma solução identicamente nula, $\psi(x) \equiv 0$, que não tem sentido físico (porque?)

Este raciocínio acontece com frequência, e nos leva a considerar uma nova condição para que uma solução da eq. s. tenha sentido físico: $\psi(x)$ não pode "explodir" quando $x \rightarrow \pm\infty$.

Resta-nos então examinar a possibilidade de encontrar soluções com $E \geq 0$.

$$k^2 = \frac{2mE}{t^2} \Rightarrow k = \frac{\sqrt{2mE}}{t}, \text{ e } \psi'' + k^2 \psi = 0,$$

com solução geral $\psi(x) = A \sin(kx) + B \cos(kx)$. (que não explode quando $x \rightarrow \pm\infty$!)

Portanto, esta solução é aceitável para qualquer valor de $k \Rightarrow$ E não é quantitativa.

Uma outra forma de escrever a solução geral é usando as exponenciais complexas:

$$\sin kx = e^{ikx} - e^{-ikx}$$

$$\cos kx = \frac{e^{ikx} + e^{-ikx}}{2}$$

(ou usar $e^{\pm ikx}$ como base do espaço de soluções)

$$u(x) = C e^{ikx} + D e^{-ikx}$$

Se escrevermos agora a função de onda dependente do tempo

$$\psi(x, t) = u(x) e^{-i\omega t} =$$

$$= C e^{i(kx-\omega t)} + D e^{-i(kx+\omega t)}$$

que é uma superposição de ondas progressivas, que se movem para a direita (temos um c) ou para a esquerda. Se tivermos $D=0$, a solução representa partícula com momento $\hbar k$ (e energia

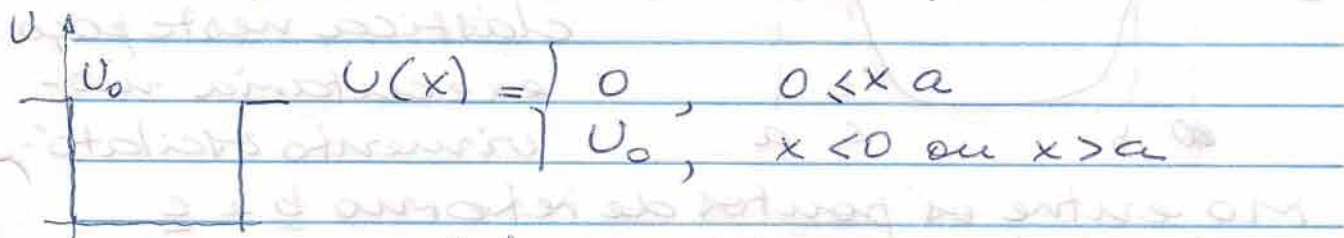
$$E = \frac{p^2}{2m} = \frac{\hbar^2 k^2}{2m}$$

no sentido positivo do eixo x (e se $C=0$?).

7.8 A caixa rígida

Um modelo mais realista* do que a caixa rígida pode ser traduzido numa **tilibra** * comentário sobre quarks

caixa não rígida, na qual a partícula está sujeita a um poço de potencial de profundidade finita ("poço quadrado finito"): ela pode ser retirada da caixa se absorver uma quantidade finita (i.e., $\neq 0$ e $<\infty$) de energia. A energia potencial é, neste caso, modelada pela função

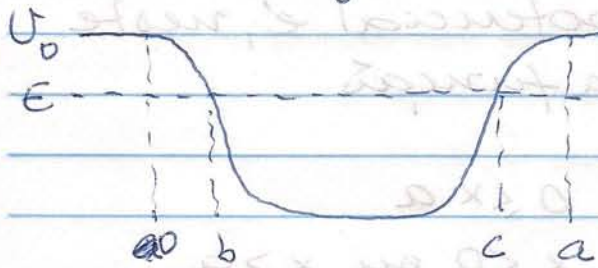


Este modelo é também algo não realístico devido ao salto abrupto sofrido por U nos extremos da caixa, e pode ser melhorado por uma mudança contínua da energia nestas extremidades - simplificamos a matemática

da discussão ao tomar o valor igual (U_0) da energia potencial nos dois lados da caixa. As propriedades destes 2 modelos são qualitativamente similares.

Assim como no poço infinito, não há solução fisicamente aceitável para $E < 0$ (tomámos o fundo do poço como o zero de energia). Uma diferença importante entre os 2 poços é que neste último a partícula pode escapar do poço se $E > U_0$, e a função de onda neste caso é parecida

com a da partícula livre - em particular, as energias possíveis não são quantitativas se $E > U_0$. Nossa interesse principal aqui, no entanto, é nos estados ligados, com energias $0 < E < U_0$.



Uma partícula clássica neste poço executaria movimento oscilatório entre os pontos de retorno b e c.

(no poço quadrado estes coincidem com os seus limites 0 e a), que são determinados pela condição $E = U(x)$ ($K = E - U(x) = 0$).

Considere agora a eq. 5.

$$4''(x) = \frac{2m}{\hbar^2} [U(x) - E] \psi(x)$$

Procuramos

valores de E no intervalo $(0, U_0)$ que levem a funções de onda fisicamente aceitáveis. Para compreender quando devemos esperar achar energias permitidas, é útil examinar o comportamento geral das soluções desta equação.

Poderemos distinguir 2 regiões distintas em x : aquela na qual o fator $[U(x) - E] > 0$ e a outra onde este fator é negativo. Estas regiões são determinadas pelos pontos de retorno clássicos (b e c); a região onde $[U(x) - E] > 0$ é a região classicamente

proibida. O comportamento da função de onda $\psi(x)$ é bastante diferente nestas 2 regiões.

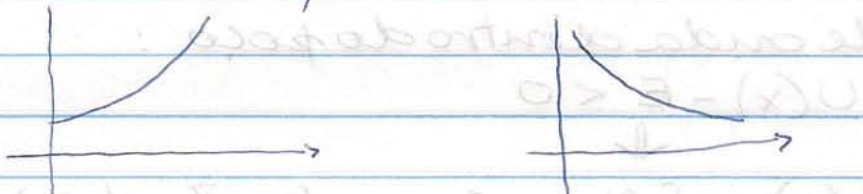
Funções de onda fora do poço
(região claramente proibida)

$$\psi''(x) = [\text{função positiva}] \cdot \psi(x)$$

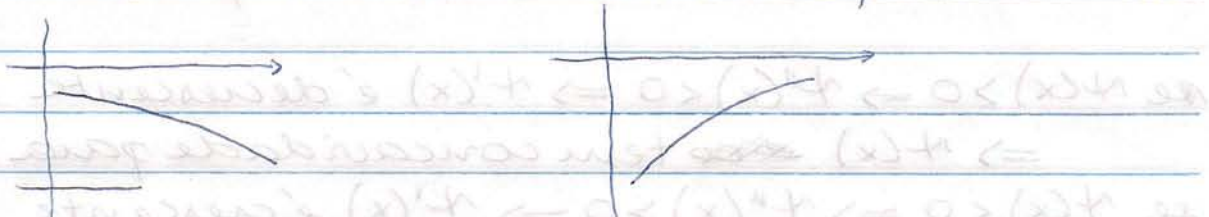
$\psi''(x)$ e $\psi(x)$ têm o mesmo sinal:

se $\psi(x) > 0 \Rightarrow \psi''(x) > 0 \Rightarrow \psi'(x)$ é crescente

$\Rightarrow \psi(x)$ tem concavidade para cima



se $\psi(x) < 0 \Rightarrow \psi''(x) < 0 \Rightarrow \psi'(x)$ é decrescente
 $\Rightarrow \psi(x)$ tem concavidade para baixo



Este comportamento pode ser explicitado se olharmos para as regiões $x < 0$ e $x > a$ (nas quais $U(x) = U_0 = \text{constante}$):

$$0 < \frac{2m}{\hbar^2} [U_0 - E] = +x^2$$

$$\psi''(x) = +x^2 \psi(x)$$

$$\psi(x) = A e^{dx} + B e^{-dx} \quad \text{é a solução geral.}$$

765
11
Uma função como esta é esse tem sua concavidade voltada para o lado oposto aquele onde está o eixo x .

À esquerda do poço ($x < 0$), $e^{-\alpha x}$ explode, e não é fisicamente aceitável.
 $\Rightarrow \psi(x) = A e^{\alpha x}$

À direita ($x > a$), $e^{\alpha x}$ explode
 $\Rightarrow \psi(x) = B e^{-\alpha x}$

Portanto, nas regiões classicamente proibidas a função de onda (fisicamente aceitável) decai exponencialmente a zero quando $x \rightarrow \pm \infty$

Funções de onda dentro do poço:

$$U(x) - E < 0$$



$$\psi''(x) = [\text{função negativa}] \cdot \psi(x)$$



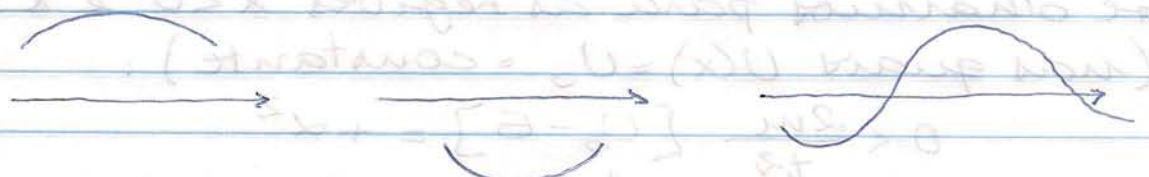
$\psi''(x)$ e $\psi(x)$ têm sinais opostos:

se $\psi(x) > 0 \Rightarrow \psi''(x) < 0 \Rightarrow \psi'(x)$ é decrescente

$\Rightarrow \psi(x)$ tem concavidade para baixo

se $\psi(x) < 0 \Rightarrow \psi''(x) > 0 \Rightarrow \psi'(x)$ é crescente

$\Rightarrow \psi(x)$ tem concavidade para cima



Nos 2 casos, $\psi(x)$ se curva em direção ao eixo x . Se o intervalo (b, c) for suficientemente grande (comparado com a libra

"comprimento de onda") a função que se curva em direção ao eixo vai conseguir cruzá-lo e começa imediatamente a se curvar para o outro lado: a função de onda tem comportamento oscilatório.

Se o fator negativo $\frac{2m}{\hbar^2} [U(x) - E]$ tem módulo grande, $\psi''(x)$ também terá módulo grande e $\psi(x)$ se curva e oscila rapidamente (e inversamente troque "grande" por "pequeno" e "rapidamente" por "lentamente"). Isto é fácil de entender: $U(x) - E = -K$, e, de acordo com de Broglie, K grande \Rightarrow comprimento de onda pequeno e oscilações rápidas (e inversamente: K pequeno, etc.).

No caso do poço quadrado finito, $U(x) = 0$ se $x \in (0, a)$ (que coincide com (b, c)), e o fator negativo é $-\frac{2mE}{\hbar^2} = -k^2$. A eq. S. se torna

$\psi''(x) = -k^2 \psi(x)$, com solução geral

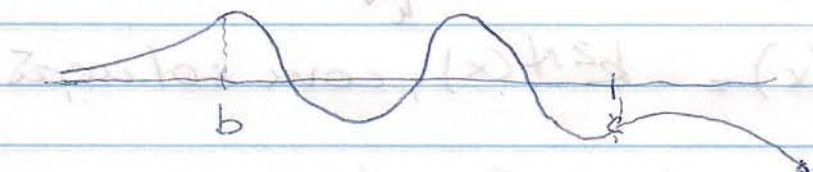
$$\psi(x) = F \sin kx + G \cos kx$$

Para resolver este problema, devemos impor a continuidade de $\psi(x)$ e $\psi'(x)$ na fronteira do poço, e com isto determinar as constantes A, B, F, G (impondo a normalização de $\psi(x)$) e as energias E admissíveis. O problema não tem solução analítica e deve ser resolvido

numericamente. No entanto, vamos ver que é possível determinar o comportamento qualitativo em detalhe sem precisar fazer cálculos.

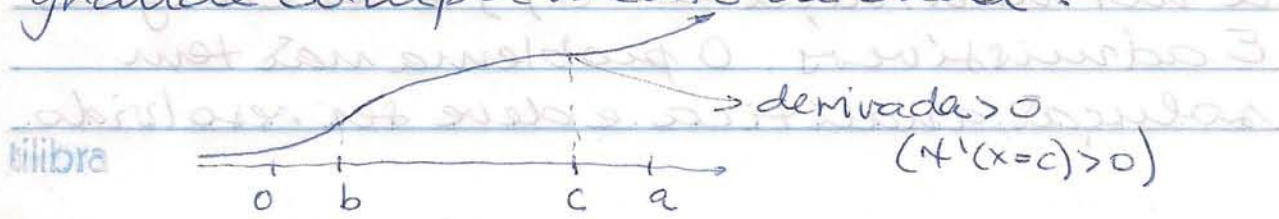
Procura das energias permitidas

Vamos tentar inferir, a partir dos comentários acima, a forma da função de onda, começando por seu comportamento assintótico $\psi(x) = A e^{\alpha x}$ se $x < 0$. A solução deixa de ter esta forma simples quando $U(x)$ começa a variar (αx entre 0 e b), mas continua com concavidade para cima. Em $x = b$, ela começa a ter comportamento oscilatório, e continua assim até $x = c$, onde começa a se curvar para longe do eixo x outra vez.

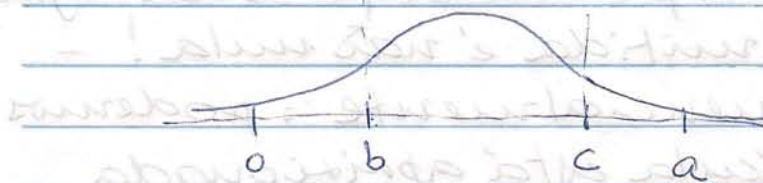


A figura mostra uma tentativa fraca-sada: $\psi(x)$ explode quando $x \rightarrow +\infty$!

Vamos tentar uma busca mais sistemática, começando com E perto de zero (i.e., grande comprimento de onda).

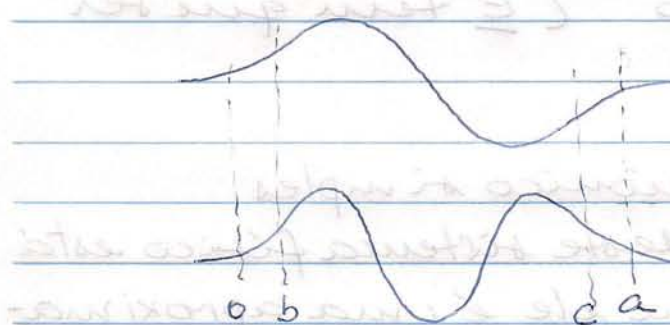


Aumentando os valores de E paulatinamente (diminuindo λ) podemos chegar a uma situação onde $\psi'(c) < 0$ e $\psi(c) > 0$:



Valores maiores de E podem levar a termos $\psi'(c) < 0$, mas $\psi(c) < 0 \Rightarrow \psi(x \rightarrow +\infty)$ também explode.

Se continuarmos aumentando E , podemos chegar a ter $\psi'(c) > 0$ e $\psi(c) < 0$, o que pode nos levar a outra função de onda fisicamente aceitável:



Vemos que as funções de onda aceitáveis muito se assemelham a suas análogas no problema do poço infinito - mas as energias do poço finito são um pouco menores que suas análogas no poço infinito (porque? pense nos λ' !)

Assim como no poço infinito, a função de onda do nível n tem $n-1$ nós, o que era fácil de prever: energias maiores

correspondem a funções de onda de menor comprimento de onda.

Uma importante consequência:

$\psi(x) \neq 0$ fora do poço \Rightarrow a probabilidade de encontrar a partícula fora da região clássicamente permitida é não nula! - mas decai exponencialmente: podemos dizer que a partícula está aprisionada perto do poço. A capacidade que a função de onda quântica de penetrar em regiões clássicamente proibidas tem consequências importantes, que descobriremos mais tarde.

Um outro ponto importante: o número de estados ligados é finito, e depende da profundidade U_0 e da largura a do poço (E tem que ser menor que U_0).

7.9 O oscilador harmônico simples

A importância deste sistema físico está ligada ao fato de que ele é uma aproximação de 1^o ordem ao comportamento de (quase) qualquer sistema nas vizinhanças de uma configuração de equilíbrio estável. Se $x=x_0$ é a coordenada que descreve a configuração do sistema, $\frac{dU}{dx}(x=x_0)=0$ (equilíbrio) e $\frac{d^2U}{dx^2}(x=x_0) > 0$ (estabilidade - se $\frac{d^2U}{dx^2}(x=x_0) = 0$, a estabilidade depende do sinal da próxima derivada de U e a aproximação mencionada perde a validade). Por isso, a

Comentário: cálculo aproximado da energia do estado fundamental do poço quadrado finito.

Quando a profundidade do poço for muito maior que a energia do estado fundamental, podemos estimar esta última da seguinte forma:

- a função de onda na região claramente proibida decai exponencialmente, com uma profundidade (distância) de penetração caracterizada por

$$\frac{1}{\alpha} = \frac{\hbar}{\sqrt{2m(U_0 - E)}}$$

- resulta que a energia do estado fundamental se assemelha à do estado fundamental de um poço infinito com largura acrescida de $\frac{2}{\alpha}$ ($\frac{1}{\alpha}$ para cada lado):

$$E_1 \approx \frac{\hbar^2}{8m\left(a + \frac{2}{\alpha}\right)^2}$$

- como α depende de E_1 , podemos construir um procedimento em sequência, que começa por estimar E_1 para o poço infinito de largura a , usa este valor de E_1 para estimar α , e usa este último para revisar a estimativa da energia.
- este procedimento pode ser repetido até sua convergência.

11

Exemplos:

1. elétron confinado em poço de profundidade $U_0 = 1 \text{ keV}$ e largura $0,2 \text{ nm}$.

$$- E_1 = \frac{h^2}{8m\alpha^2} = \frac{(hc)^2}{8(mc^2)\alpha^2} = \frac{1240 \times 1240}{8 \times 5,11 \times 10^5 \times (0,2)^2} \\ = 9,4 \text{ eV}$$

$$- \frac{i}{\alpha} = \frac{\hbar}{\sqrt{2m(U_0 - E_1)}} = \frac{197}{\sqrt{2 \times 5,11 \times 10^5 \times (1000 - 9,4)}} \\ = 0,00619 \text{ nm}$$

$$- E_1 = \frac{h^2}{8m(a + \frac{2}{\alpha})^2} = E_{\text{infinito}} \left(\frac{a}{a + \frac{2}{\alpha}} \right)^2 = \\ = 9,4 \left(\frac{0,2}{0,2 + 0,00619} \right)^2 \approx 8,3 \text{ eV}$$

- se usarmos este valor para recalcular

$\frac{i}{\alpha}$ obtendremos $0,00619 \text{ nm} \Rightarrow$ o procedimento convergiu, e a energia estimada é $8,3 \text{ eV}$, em acordo com a solução numérica do problema.

expansão de Taylor da energia potencial em torno da configuração de equilíbrio tem os 2 termos iniciais como segue:

$$U(x) = U(x_0) + \frac{1}{2} \frac{d^2U}{dx^2}(x_0)(x - x_0)^2$$

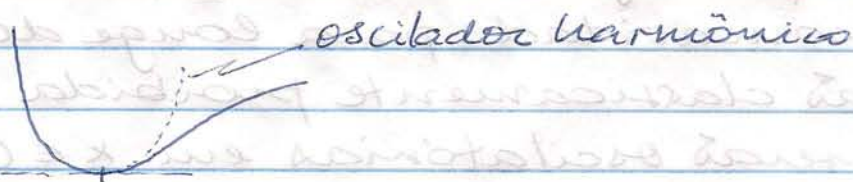
Se tomarmos $U(x_0) = 0$ e chamarmos

$$k = \frac{d^2U}{dx^2}(x_0),$$

$$U(x) = \frac{1}{2} k (x - x_0)^2, \quad k > 0,$$

que é a energia potencial do oscilador harmônico.

Esta aproximação se aplica, por exemplo, a uma molécula diatômica típica, com energia potencial representada abaixo como função da separação x entre os átomos.



A equação horária de um oscilador harmônico clássico de massa m tem a forma geral (tomarmos $x_0 = 0$ na sequência)

$$x(t) = A \operatorname{sen} \omega_c t + B \cos \omega_c t, \quad \omega_c^2 = \frac{k}{m}$$

Se escolhermos a origem dos tempos, $t=0$, no momento em que o oscilador está em sua posição de equilíbrio,

$x(t) = A \operatorname{sen} \omega_c t$, onde A é a amplitude das oscilações e o sistema oscila entre $x = -A$ e $x = A$: $x = \pm A$ são os pontos de retorno clássicos. Quando a

partícula está num destes pontos sua energia cinética K é nula, e, se E é a energia total, temos

$$E = \frac{1}{2} k A^2 \Rightarrow A = \sqrt{\frac{2E}{k}}$$

a amplitude

do oscilador clássico aumenta com a energia.

Para encontrar as energias permitidas para o oscilador harmônico quântico temos que resolver a eq. S. com $U(x) = \frac{1}{2} k x^2$ (outra vez escolhemos $x_0 = 0$). Qualitativamente, a análise é semelhante à do poço finito discutido na seção anterior.

Qualquer que seja o valor de E , as soluções terão concavidade para longe do eixo x na região classicamente proibida ($x < -A$ e $x > A$) e serão oscilatórias em $x \in (-A, A)$.

Como antes, apenas alguns valores de E produzirão soluções que satisfazem às condições de contorno de decaimento exponencial quando $x \rightarrow -\infty$ e $x \rightarrow +\infty$.

Logo, a energia é quantizada. A energia potencial cresce sem limites quando x se afasta da origem, e a partícula estará portanto confinada para todas as energias (permitidas). Neste aspecto, o oscilador harmônico se assemelha ao poço infinito.

Uma diferença importante entre o oscilador harmônico e outros poços de

potencial é que a eq. S. tem, neste caso, solução analítica. A matemática de sua obtenção é, no entanto, um pouco mais complicada do que queremos manipular nesta disciplina. A boa notícia é que o resultado para os níveis de energia é bem simples: as energias permitidas são

$$E = \frac{1}{2} \hbar \omega_c, \frac{3}{2} \hbar \omega_c, \frac{5}{2} \hbar \omega_c, \text{ ou}$$

$$E = (n + \frac{1}{2}) \hbar \omega_c, n=0, 1, 2, \dots$$

Uma característica marcante deste resultado é que os níveis de energia são igualmente espaçados:

$$\frac{E_{m+1}}{m+1} - \frac{E_m}{m} = \left(n + 1 + \frac{1}{2}\right) \hbar \omega_c - \left(n + \frac{1}{2}\right) \hbar \omega_c$$

resultado nada óbvio.

As funções de onda correspondentes estão divididos são, como é fácil de prever com nossa análise qualitativa, muito parecidas visualmente com aquelas obtidas na solução do problema do poço finito. Em particular, no estado fundamental a função de onda não tem nós. De fato, como neste problema o número quântico n começa do zero, a função de ordem n tem n nós. Funções associadas a energias maiores se espalham para mais longe de $x=0$, assim como acontece

com os pontos de retorno clássicos. O estado fundamental ($n=0$) tem uma energia de ponto zero ($= \frac{1}{2} \hbar \omega_c$), como exigido pelo princípio da incerteza. Elas têm a forma geral

$$\psi_n(x) = p_n(x) e^{-\frac{x^2}{2b^2}}$$

$b^2 = \frac{\hbar}{m\omega_c}$ e $p_n(x)$ é um polinômio em x de grau n ("polinômio de Hermite") com paridade bem definida ($(-1)^n$: paridade igual à do número quântico n)

As propriedades do oscilador harmônico quântico são bem ilustradas pelo exemplo de uma molécula diatônica, como o HCl. Este é, em princípio, um sistema 3 dimensional complicado. Sua energia pode ser expressa pela soma de 3 termos: um termo eletônico, associado ao movimento dos elétrons individuais, um termo rotacional, correspondendo a rotações da molécula como um todo, e um termo vibracional, associado às ~~oscilações~~ vibrações radiais para dentro e para fora dos 2 átomos. Uma análise cuidadosa do espectro molecular permite discriminar as contribuições destes 3 termos. Em particular, o movimento vibracional dos 2 átomos é 1 dimensional, ao longo da linha

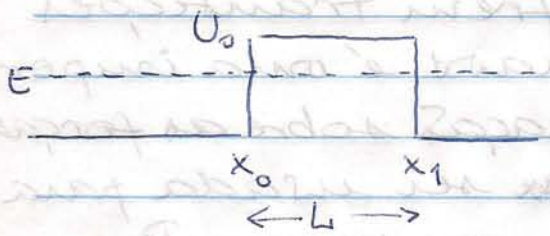
que liga os átomos, e a energia potencial associada a este grau de liberdade (a distância inter-atómica r) pode ser approximada pela do oscilador harmônico, o que encontra ampla confirmação experimental. Os níveis vibracionais de menor energia correspondem de perto aos do oscilador harmônico (até $n=5$, no caso do HCl), e começam a ficar mais próximos entre si a partir daí. E, é claro, a molécula não terá níveis quantizados se E for maior que sua energia de dissociação.

A observação dos fótons emitidos quando moléculas sofrem transições entre níveis vibracionais é uma importante fonte de informações sobre as forças interatônicas, e pode ser usada para identificar a molécula emissora. Por exemplo, a molécula de H_2 emite fótons UV de frequência $1,2 \times 10^{14} \text{ Hz}$ quando cai de um nível vibracional para o vazio, e esta radiação é usada pelos astrônomos para localizar níveis de moléculas de H_2 em nossa galáxia.

7.10 Torvelamento

Trata-se, como a quantização de energia, de um dos mais surpreendentes fenômenos quânticos, com muitas aplicações importantes.

Vamos discutir aqui o problema de uma partícula quântica não confinada para qual a energia potencial apresenta uma barreira classicamente impermeável. Vamos ver que a partícula quântica pode atravessar - ou "tunelar" através - esta barreira e emergir do outro lado. Esta penetração de barreira, ou tunelamento, tem consequências dramáticas em vários fenômenos naturais, tais como o decaimento radioativo, e é a base do funcionamento de vários dispositivos eletrônicos modernos, como o microscópio de tunelamento (STM, na sigla em inglês).



O diagrama representa a energia potencial de um elétron que se move ao longo do eixo x num percurso que consiste de 2 fios condutores idênticos separados pela distância L entre x_0 e x_1 - que pode ser no ar, ou uma camada fina de poeira numa conexão elétrica imperfeita. Este hiatto forma uma barreira de largura L e altura U_0 , enquanto a energia potencial no interior dos condutores é constante (que tornamos nula). Estamos interessados no caso em que a energia da partícula é menor que a altura da barreira, $0 < E < U_0$. Nestas condições, tilibra

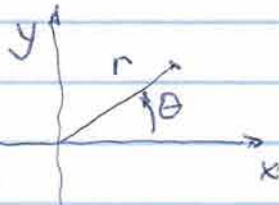
Integrais envolvendo a função gaussiana e^{-ax^2}

$$1. \int_{-\infty}^{+\infty} e^{-ax^2} dx = \sqrt{a} \int_0^{+\infty} e^{-ax^2} dx = I \quad (\text{integrando é par})$$

$$\begin{aligned} I^2 &= \int_0^{\infty} e^{-ax^2} dx \int_{-\infty}^{\infty} e^{-ay^2} dy = \\ &= \int_{-\infty}^{\infty} \int_{-\infty}^{\infty} e^{-a(x^2+y^2)} dx dy \end{aligned}$$

Usando coordenadas polares bidimensionais:

$$\begin{aligned} x &= r \cos \theta \\ y &= r \sin \theta \end{aligned}$$



$$dx dy = r dr d\theta$$

$$I^2 = \int_0^{2\pi} d\theta \int_0^{\infty} dr \cdot r e^{-ar^2} =$$

$$= 2\pi \int_0^{\infty} r e^{-ar^2} dr = 2\pi \cdot \frac{1}{(-2a)} \int_0^{\infty} (-2ar) e^{-ar^2} dr$$

$$= \frac{\pi}{a} \left[e^{-ar^2} \right]_0^{\infty} = \frac{\pi}{a} \rightarrow I = \sqrt{\frac{\pi}{a}}, e$$

$$\int_{-\infty}^{+\infty} x^2 e^{-ax^2} dx = \sqrt{\frac{\pi}{a}} = I(a)$$

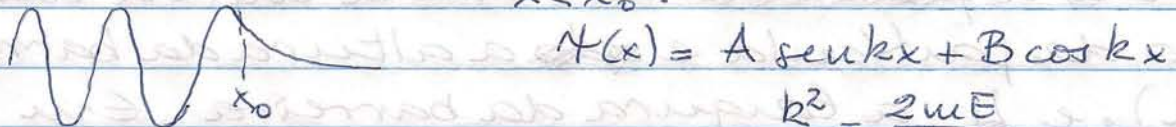
$$\begin{aligned} 2. \int_{-\infty}^{+\infty} x^2 e^{-ax^2} dx &= -\frac{d}{da} \int_{-\infty}^{+\infty} e^{-ax^2} dx = \\ &= \frac{1}{2} \sqrt{\frac{\pi}{a^3}} \end{aligned}$$

uma partícula clássica incidente da esquerda sofreria reflexão ao chegar a x_0 .

Para ver o que acontece com a partícula quântica devemos resolver a eq. S. com esta função energia potencial $U(x)$. Apesar deste não ser um problema difícil, vamos ver que podemos entender as características principais da solução sem tê-la obtido explicitamente.

Consideremos primeiro uma barreira de largura L infinita, também chamada de um degrau - que funciona exatamente como a parede à direita do poço finito que já discutimos. Portanto, a função será oscilatória para $x < x_0$ e uma exponencial decrescente para $x > x_0$:

$$x < x_0:$$



$$\Psi(x) = A \sin kx + B \cos kx$$

$$k^2 = \frac{2mE}{\hbar^2}$$

$$x > x_0: \Psi(x) = C e^{-\alpha x}, \quad \alpha^2 = \frac{2m(U_0 - E)}{\hbar^2}$$

E a partícula quântica tem probabilidade não nula de ser encontrada na região claramente proibida.

Se a largura da barreira for finita, temos a situação do diagrama abaixo:



A_e

$\psi(x)$ é senoidal, com amplitude ~~A_e~~, se $x < x_0$, exponencial decrescente se $x_0 < x < x_1$, e outra vez oscilatória, ~~com~~ com amplitude A_d ($< A_e$), se $x > x_1$, já que nessa região $E - U(x) > 0$.

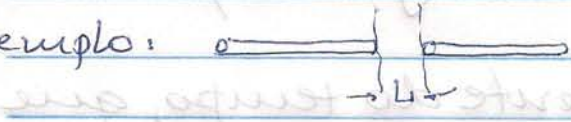
A probabilidade de que a partícula esteja à esquerda de x_0 é proporcional a $|A_e|^2$, e que ela esteja à direita de x_1 é proporcional a $|A_d|^2$. Portanto, existe uma probabilidade não nula de que uma partícula que cai da sobre a barreira vinda da esquerda a atravesse e passe a tráfegar à direita:

$$P = \left| \frac{A_d}{A_e} \right|^2 \approx \left| \frac{e^{-\alpha x_1}}{e^{-\alpha x_0}} \right|^2 = e^{-2\alpha L}$$

A probabilidade de tunelamento depende, portanto, de 2 variáveis: α (que mede a ~~proximidade~~ distância entre a energia da partícula e ~~a~~ a altura da barreira), e L , a largura da barreira. Em muitas aplicações o produto αL é muito grande, e a probabilidade de tunelamento muito pequena. No entanto, se a partícula se chocar com a barreira um número muito grande de vezes, ela acabará por atraessá-la, que é o que ocorre no decaimento α de certos núcleos radioativos.

Uma aplicação moderna do tunelamento quântico é o microscópio de tunelamento (STM). Nele, a superfície de uma

amostra é explorada medindo-se a corrente elétrica entre a superfície e uma ponta de prova condutora que varre a superfície a uma certa altura fixa acima dela. A corrente só acontece por causa do tunnelamento quântico, e o valor da corrente é proporcional à probabilidade de tunnelamento através da barreira. Esta probabilidade é fortemente dependente da largura l da barreira, isto é, a distância entre a ponta de prova do microscópio e a superfície sendo examinada. Isto significa que medindo esta corrente podemos obter uma descrição muito precisa da topografia da superfície.

Exemplo:  2 fios condutores idênticos separados por uma distância $l = 1 \text{ nm}$. O buraco entre os fios pode ser representado por uma barreira de potencial U_0 acima da energia constante ($= 0$) que os elétrons têm quando estão no interior do fio condutor. Suponha que ele se aproxima do buraco com energia E , $U_0 - E = 1 \text{ eV}$.

- Com que probabilidade ele emerge do outro lado da barreira? (isto é, alcança o outro fio)
- Como isto muda se l dobrar de valor?

$$\frac{\alpha^2}{\hbar^2} = \frac{2m(U_0 - E)}{(hc)^2} = \frac{2mc^2(U_0 - E)}{(hc)^2}$$

$$\alpha = \sqrt{\frac{2 \times (5 \times 10^5 \text{ eV}) \times 1}{197 \text{ eV} \cdot \text{nm}}} \approx 51 \text{ nm}^{-1}$$

(discutir a dimensão!)

$$\Rightarrow \alpha L = 5,1, \quad e^{-2\alpha L} = 10,2$$

$$P = e^{-\alpha L} = e^{-5} = 37 \times 10^{-5} \approx 0,004\%$$

$$\text{Se dobrarmos } L \rightarrow P' = e^{-20,4} = 1,4 \times 10^{-19}$$

que ilustra a enorme sensibilidade com que a probabilidade de transmissão depende da largura da barreira, propriedade que é explorada pelo microscópio STM.

7.11 A equação de Schrödinger dependente do tempo

A eq. S. independente do tempo, que determina a dependência espacial dos estados estacionários de um sistema quântico, pode, como já vimos, ser escrita na forma

$$-\frac{\hbar^2}{2m} \frac{d^2\psi}{dx^2} + U(x)\psi = E\psi$$

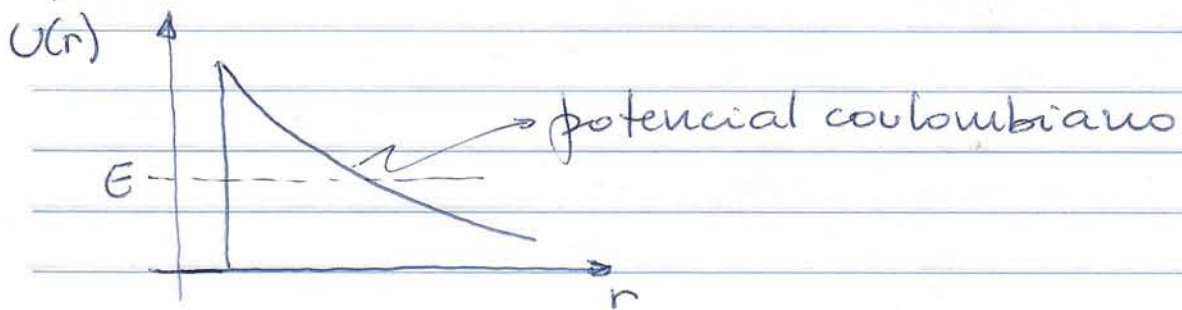
Como a dependência temporal de um estado estacionário pode ser escrita como $\exp(-i\omega t)$, onde a conexão entre ω e E é dada pela relação de de Broglie

$$E = hf = \frac{\hbar}{2\pi} 2\pi f = \hbar\omega$$

o lado direito

Tunelamento e decaimento alfa (α)

Modelamos o problema como o de uma partícula α confinada por um poço finito da forma



Fora do núcleo de número atômico 2, a partícula α (de carga $+2e$) está sujeita a energia potencial

$$U(r) = \frac{2(2-2)ke^2}{r}$$

A profundidade do poço é determinada pelo raio do núcleo R ,

$$R \sim 1,2 \text{ fm} \times (A)^{1/3}$$

Para o núcleo de urânio (U^{238}), temos

$R \sim 1,2 \times (238)^{1/3} \approx 7,4 \text{ fm}$,
e a ~~profundidade~~ profundidade do poço
é

$$U(R) \approx \frac{2 \times 90 \times (1,44 \text{ MeV.fm})}{7,4 \text{ fm}} \approx 35 \text{ MeV}$$

da equações acima também é
 $E \Psi = \hbar \omega \Psi = i\hbar (-i\omega) \Psi$
 $= i\hbar \frac{\partial}{\partial t} (\Psi e^{-i\omega t})$
 $= i\hbar \frac{\partial}{\partial t} \bar{\Psi}(x, t)$, o que sugere
 (mas não prova!) que a equações de movimento de um sistema quântico seja (em 1 dimensão)

$$-\frac{\hbar^2}{2m} \frac{\partial^2}{\partial x^2} \bar{\Psi}(x, t) + U(x) \bar{\Psi}(x, t) = i\hbar \frac{\partial}{\partial t} \bar{\Psi}(x, t),$$

que é justificada pelo sucesso de suas muitas previsões.

Os estados estacionários são soluções desta equação diferencial parcial - de fato, são ~~as~~ as soluções desta equação possíveis de serem expressas como o produto de uma função apenas da posição por outra que depende só do tempo. Mas há muitas outras soluções.

Considere, por exemplo, dois estados estacionários associados a energias distintas,

$$\bar{\Psi}_1(x, t) = \Psi_1(x) e^{-i\omega_1 t}, \quad E_1 = \hbar \omega_1,$$

$$\bar{\Psi}_2(x, t) = \Psi_2(x) e^{-i\omega_2 t}, \quad E_2 = \hbar \omega_2$$

Cada uma destas funções satisfaz à eq. S. completa, e o mesmo é verdade de qualquer combinação linear delas, da forma

$$\bar{\Psi}(x, t) = \alpha \bar{\Psi}_1(x, t) + \beta \bar{\Psi}_2(x, t)$$

11

para α e β constantes (complexas). Isto é, o princípio da superposição se aplica à eq. 5. completa (ela é uma equação linear). Vamos mostrar isto:

$$i\hbar \frac{\partial \Psi}{\partial t} = \alpha i\hbar \frac{\partial \Psi_1}{\partial t} + \beta i\hbar \frac{\partial \Psi_2}{\partial t} =$$

$$= \alpha \left(-\frac{\hbar^2}{2m} \frac{\partial^2 \Psi_1}{\partial x^2} + U(x) \Psi_1 \right) +$$

$$\beta \left(-\frac{\hbar^2}{2m} \frac{\partial^2 \Psi_2}{\partial x^2} + U(x) \Psi_2 \right) =$$

$$= -\frac{\hbar^2}{2m} \frac{\partial^2 \Psi}{\partial x^2} + U(x) \Psi$$

Este (Ψ) é, portanto, um estado possível de uma partícula confinada. Neste estado:

- a energia não é bem definida: uma medida da energia pode resultar no valor E_1 (com probabilidade proporcional a $|\alpha|^2$) ou E_2 (com probabilidade proporcional a $|\beta|^2$)
- apesar deste estado ser combinação linear de estados estacionários, a densidade de probabilidade a ele associada não é estacionária; para constatar isto, faça

$$\Psi(x,t) = \alpha \Psi_1(x) e^{-i\omega_1 t} + \beta \Psi_2(x) e^{-i\omega_2 t}$$

$$= e^{-i\omega_1 t} [\alpha \Psi_1(x) + \beta \Psi_2(x) e^{-i\omega_{21} t}],$$

$$\omega_{21} = \omega_2 - \omega_1$$

$$\Rightarrow |\Psi(x,t)|^2 = |\alpha \Psi_1(x) + \beta \Psi_2(x) e^{-i\omega_{21} t}|^2 =$$

$$\begin{aligned}
 &= (\alpha^* \psi_1^* + \beta^* \psi_2^* e^{i\omega_{21}t}) (\alpha \psi_1 + \beta \psi_2 e^{-i\omega_{21}t}) \\
 &= |\alpha|^2 |\psi_1(x)|^2 + |\beta|^2 |\psi_2(x)|^2 + \\
 &\quad + \alpha^* \beta \psi_1^*(x) \psi_2(x) e^{-i\omega_{21}t} + \alpha \beta^* \psi_1(x) \psi_2^*(x) e^{i\omega_{21}t} \\
 &= |\alpha|^2 |\psi_1(x)|^2 + |\beta|^2 |\psi_2(x)|^2 + 2 \operatorname{Re} [\alpha^* \beta \psi_1^* \psi_2 e^{-i\omega_{21}t}]
 \end{aligned}$$

depende de t

Um exemplo simples: se $\alpha = \beta = \frac{i}{\sqrt{2}}$ (escolhido para que a função de onda completa $\Psi(x,t)$ esteja normalizada), a última parcela será

$$\begin{aligned}
 &2 \operatorname{Re} \left[\frac{1}{\sqrt{2}} \frac{1}{\sqrt{2}} \psi_1(x) \psi_2(x) e^{-i\omega_{21}t} \right] = \\
 &= \psi_1(x) \psi_2(x) \cos(\omega_{21}t)
 \end{aligned}$$

\Rightarrow a densidade de probabilidade varia com o tempo, neste caso com uma dependência periódica, de período $T = \frac{2\pi}{\omega_{21}}$.